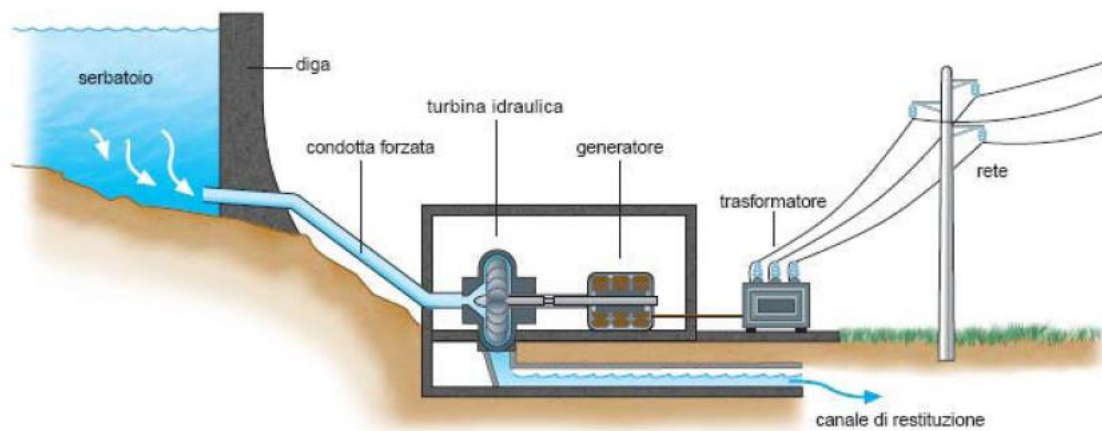


## Controllo di un sistema idroelettrico con condotta forzata



A cura di:

Bernardi Daniel, Chichifoi Karina, Ivan Andrei Daniel, Pizzini Cavagna Hiari

## Indice

1.	Introduzione	3
2.	Linearizzazione del sistema non lineare	4
3.	Trasformata di Laplace	5
4.	Shaping di L	7
4.1.	Prestazioni statiche	7
4.2.	Prestazioni dinamiche	10
5.	Test del regolatore sul sistema non linearizzato	13

## 1. Introduzione

Lo scopo del progetto è quello di creare una rete di controllo che garantisca il rispetto delle specifiche date. Nello svolgimento si andrà a linearizzare il sistema dato, per poi, partendo da un punto di equilibrio, sviluppare la rete di controllo mediante un regolatore per rispettare gli obiettivi imposti:

- 1) errore a regime nullo con riferimento a gradino  $\omega(t) = W1(t)$ ;
- 2) avere un margine di fase  $M_f \geq 45^\circ$  per garantire una certa robustezza del sistema;
- 3) la sovraelongazione percentuale può essere al massimo del 5%:  $S_{\%} \leq 5\%$ ;
- 4) il tempo di assestamento all'h% può essere tenuto relativamente basso,  $T_{a_{h\%}} = T_a[s]$ .

Passo per passo, verranno calcolate ed applicate le varie componenti del controllo, seguendo le specifiche date.

Sono stati abbattuti i rumori sull'uscita dalla frequenza  $\omega_n$  di ampiezza  $A_n$  ed è stato svolto anche il punto opzionale, portando il tempo di assestamento all'h% a  $T_{a_0}[s]$ .

## 2. Linearizzazione del sistema non lineare

Sia  $(\bar{x}, \bar{u})$  una coppia di equilibrio

$$(\bar{x}, \bar{u}) = \left( \begin{bmatrix} \bar{x}_1 \\ \bar{x}_2 \end{bmatrix}, \bar{u} \right)$$

e  $i \in \{1, 2\}$ . Occorre,  $\forall x_i$ , linearizzare il sistema, passando dal modello

$$\dot{x}_i = f(x_i, u)$$

$$y = g(x_i, u)$$

alla linearizzazione nell'intorno di  $(\bar{x}, \bar{u})$ :

$$\delta \dot{x} = A \delta x_i + B \delta u$$

$$\delta y = C \delta x_i + D \delta u$$

Date le equazioni dinamiche del sistema,

$$\dot{x}_1 = 0$$

$$\dot{x}_2 = -C_d u x_2 |x_2| - R_0 x_2 |x_2| + x_1$$

$$y = -\eta x_1 x_2$$

occorre determinare il valore di A, B, C, D:

$$A = \frac{\partial f(x, u)}{\partial x} \Big|_{\substack{x=\bar{x} \\ u=\bar{u}}} = \begin{bmatrix} \frac{\partial f_1}{\partial x_1} & \frac{\partial f_1}{\partial x_2} \\ \frac{\partial f_2}{\partial x_1} & \frac{\partial f_2}{\partial x_2} \end{bmatrix} \Big|_{\substack{x=\bar{x} \\ u=\bar{u}}} = \begin{bmatrix} 0 & 0 \\ 1 & (-C_d u - R_0) \cdot |\bar{x}_2| \cdot 2 \end{bmatrix} \Big|_{\substack{x=\bar{x} \\ u=\bar{u}}} = \begin{bmatrix} 0 & 0 \\ 1 & -4 \end{bmatrix}$$

$$B = \frac{\partial f(x, u)}{\partial u} \Big|_{\substack{x=\bar{x} \\ u=\bar{u}}} = \begin{bmatrix} \frac{\partial f_1}{\partial u} \\ \frac{\partial f_2}{\partial u} \end{bmatrix} \Big|_{\substack{x=\bar{x} \\ u=\bar{u}}} = \begin{bmatrix} 0 \\ -C_d \bar{x}_2 |\bar{x}_2| \end{bmatrix} \Big|_{\substack{x=\bar{x} \\ u=\bar{u}}} = \begin{bmatrix} 0 \\ -55\pi^2 \end{bmatrix}$$

$$C = \frac{\partial g(x, u)}{\partial x} \Big|_{\substack{x=\bar{x} \\ u=\bar{u}}} = \begin{bmatrix} \frac{\partial g}{\partial x_1} & \frac{\partial g}{\partial x_2} \end{bmatrix} \Big|_{\substack{x=\bar{x} \\ u=\bar{u}}} = \begin{bmatrix} -\eta \bar{x}_2 & -\eta \bar{x}_1 \end{bmatrix} = \begin{bmatrix} 3,25 & 6,50 \end{bmatrix}$$

$$D = \frac{\partial g(x, u)}{\partial u} \Big|_{\substack{x=\bar{x} \\ u=\bar{u}}} = 0$$

Sostituendo A, B, C e D nelle due formule iniziali si può ottenere il sistema linearizzato:

$$\begin{bmatrix} 0 & 0 \\ 1 & -4 \end{bmatrix} \begin{bmatrix} x_1 \\ x_2 \end{bmatrix} + \begin{bmatrix} 0 \\ -C_d \bar{x}_2 |\bar{x}_2| \end{bmatrix} u = \begin{bmatrix} 0 \\ x_1 - 4x_2 \end{bmatrix} + \begin{bmatrix} 0 \\ -u C_d \bar{x}_2 |\bar{x}_2| \end{bmatrix} = \begin{bmatrix} 0 \\ x_1 - 4x_2 - u C_d \bar{x}_2 |\bar{x}_2| \end{bmatrix}$$

$$\begin{bmatrix} -\eta \bar{x}_2 & -\eta \bar{x}_1 \end{bmatrix} \begin{bmatrix} x_1 \\ x_2 \end{bmatrix} + \begin{bmatrix} 0 \end{bmatrix} u = -\eta x_1 \bar{x}_2 - \eta x_2 \bar{x}_1$$

$$\begin{cases} \dot{x}_1 = 0 \\ \dot{x}_2 = x_1 - 4x_2 - u C_d \bar{x}_2 |\bar{x}_2| \\ y = -\eta x_1 \bar{x}_2 - \eta x_2 \bar{x}_1 \end{cases}$$

### 3. Trasformata di Laplace

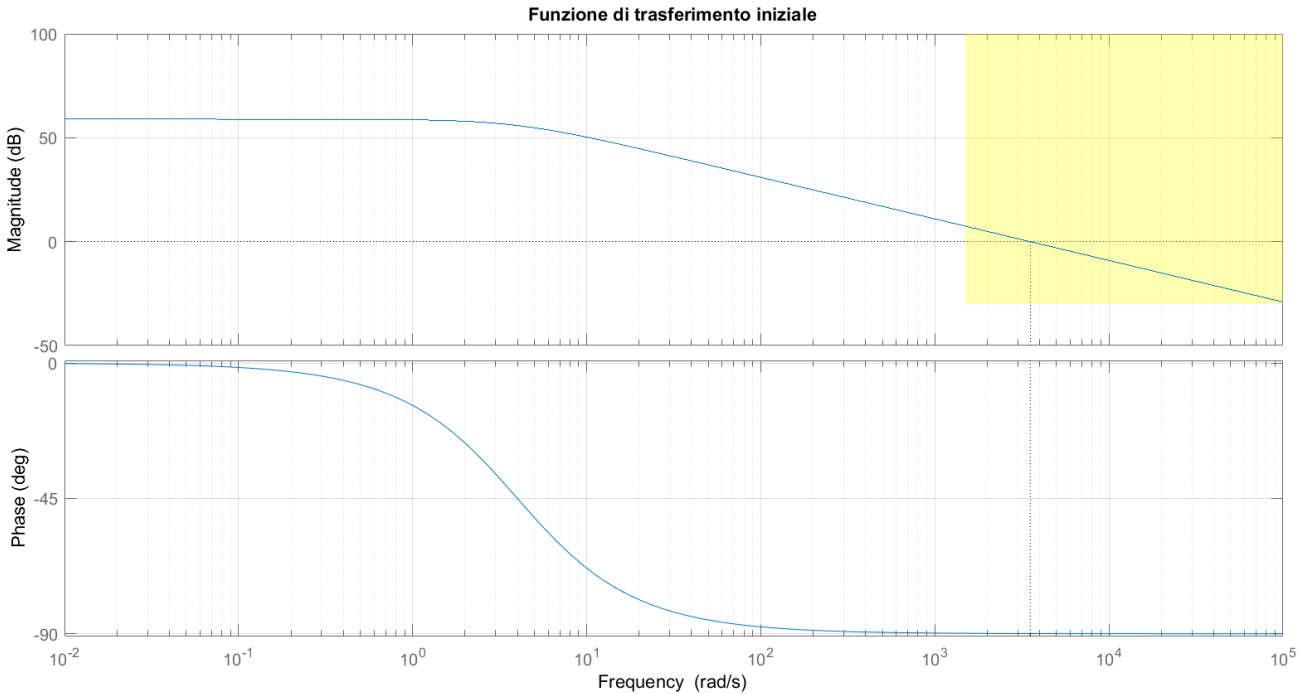
Una volta trovato il sistema linearizzato, è necessario passare dalla rappresentazione nello spazio degli stati alla rappresentazione nello spazio delle frequenze tramite una funzione di trasferimento:

$$\begin{cases} sX_1(s) - x_1(0) = 0 \\ sX_2(s) - x_2(0) = X_1(s) - 4X_2(s) - U(s)C_d\bar{x}_2|\bar{x}_2| \\ Y(s) = -X_1(s)\eta\bar{x}_1 - X_2(s)\eta\bar{x}_1 \end{cases} = \begin{cases} X_1(s) = 0 \\ X_2(s)(s+4) = -U(s)C_d\bar{x}_2|\bar{x}_2| \\ Y(s) = -X_2(s)\eta\bar{x}_1 \end{cases} = \begin{cases} X_1(s) = 0 \\ X_2(s) = -\frac{U(s)C_d\bar{x}_2|\bar{x}_2|}{s+4} \\ Y(s) = \frac{\eta C_d\bar{x}_2|\bar{x}_2|\bar{x}_1}{s+4} U(s) \end{cases}$$

Si ottiene la funzione di trasferimento

$$G(s) = \frac{\eta C_d\bar{x}_2|\bar{x}_2|\bar{x}_1}{s+4}$$

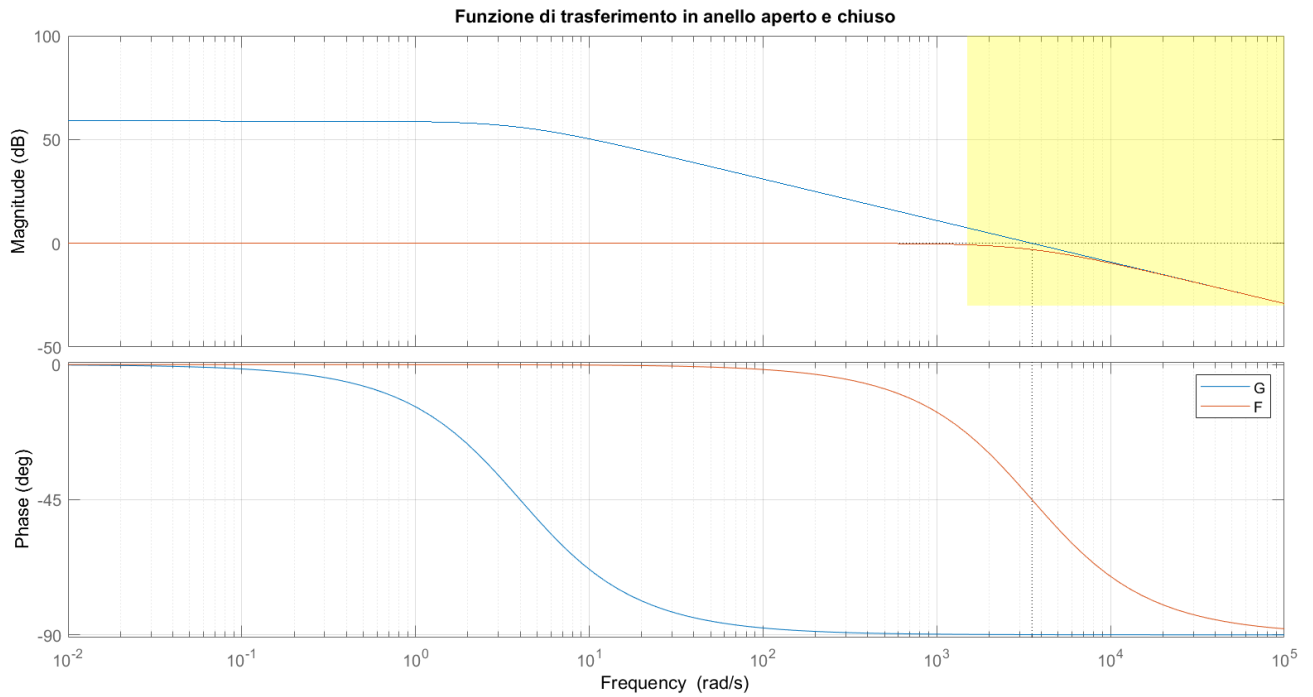
e la sua relativa rappresentazione nel seguente diagramma di Bode:



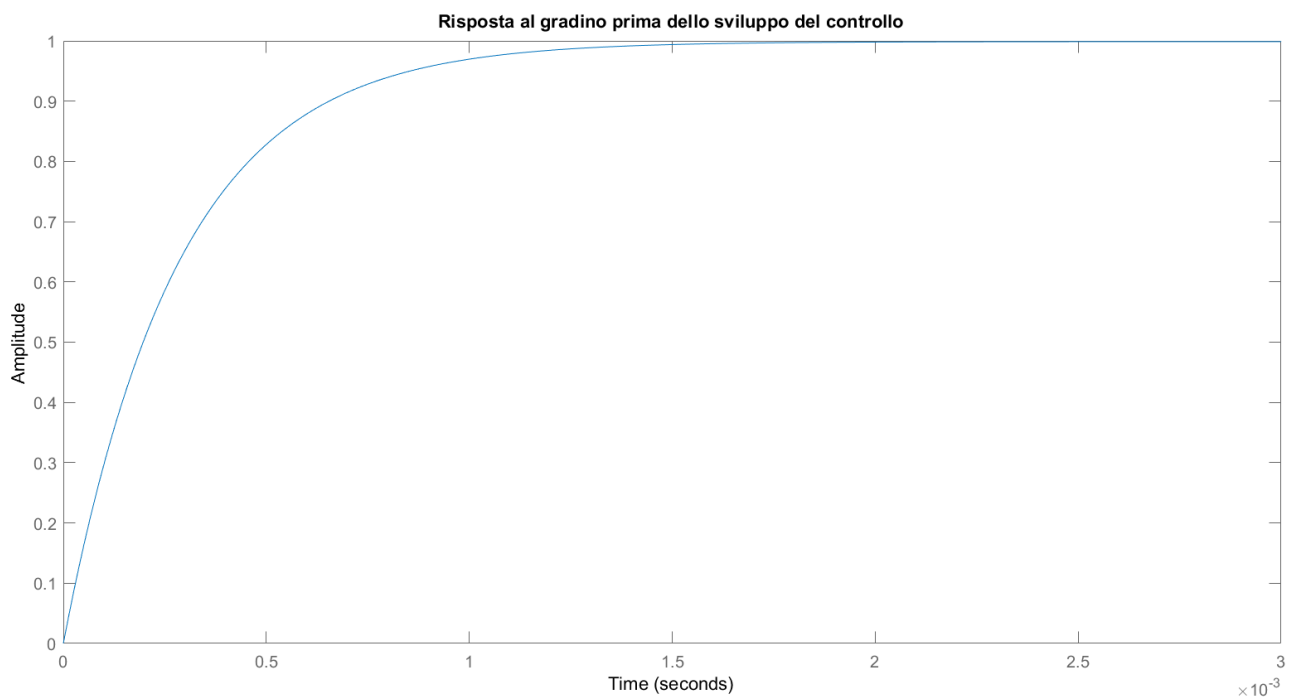
Nel diagramma è anche presente il limite per il disturbo di misura, evidenziato in giallo, e come si nota  $G(s)$  attraversa la zona proibita.

Nel grafico a seguire è rappresentata, oltre alla funzione di trasferimento, anche la funzione di trasferimento in anello chiuso, definita come

$$F(s) = \frac{G(s)}{1 + G(s)}$$



La risposta al gradino del sistema non regolato è la seguente:



## 4. Shaping di L

La funzione di trasferimento in anello aperto, definita come

$$L(s) = G(s) \cdot R(s)$$

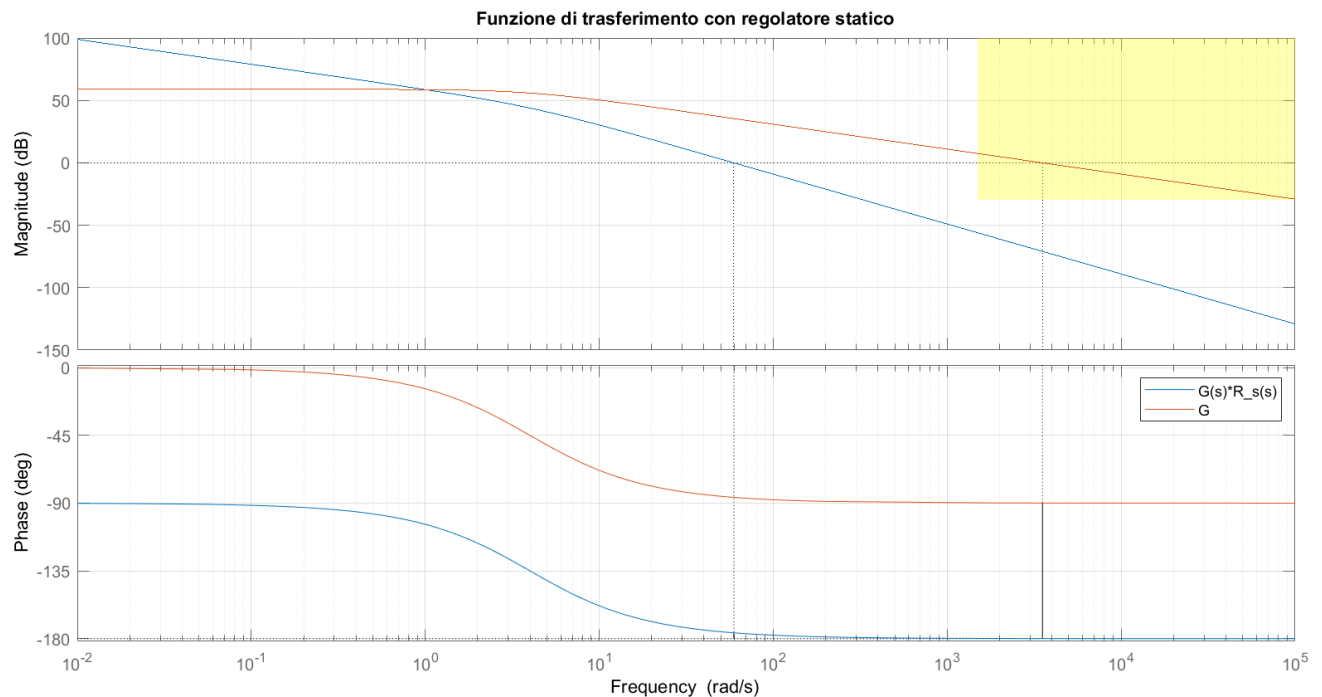
verrà ricavata mediante il calcolo e l'applicazione del regolatore  $R(s)$ . Quest'ultimo sarà composto dal regolatore statico  $R_s(s)$  e da quello dinamico  $R_d(s)$  che, rispettivamente, faranno sì che le specifiche statiche e dinamiche siano rispettate.

### 4.1. Prestazioni statiche

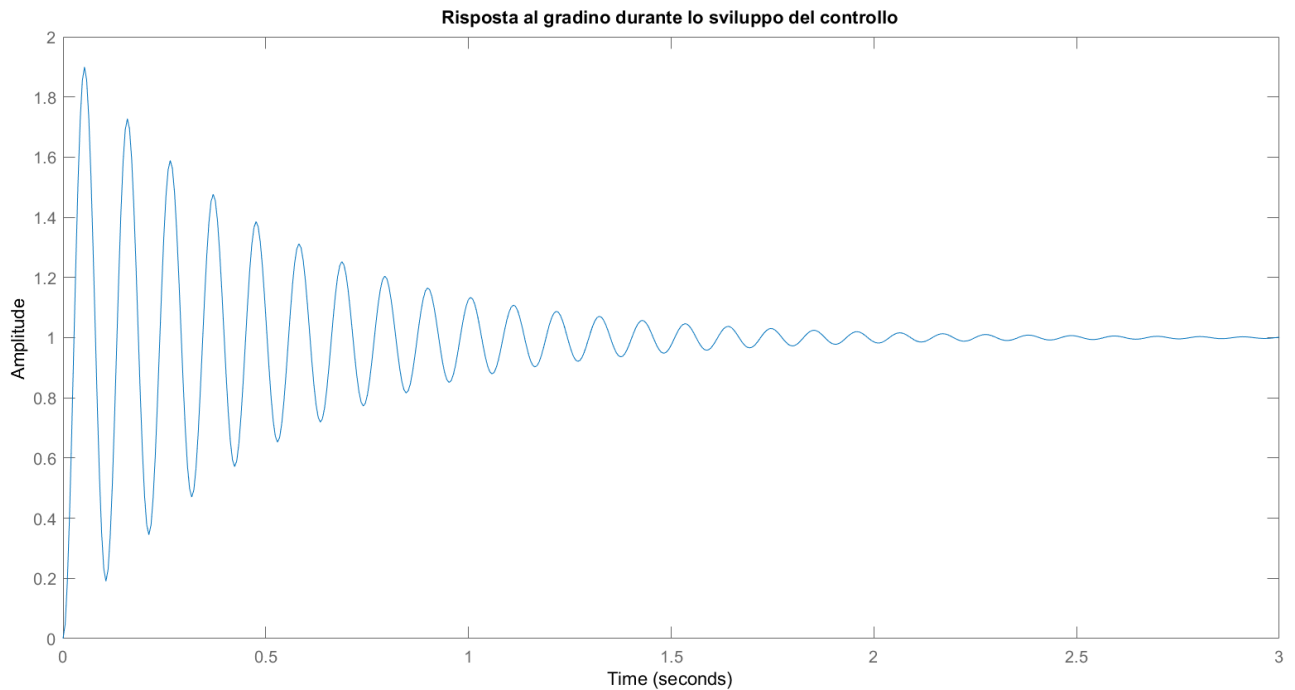
Per ottenere un errore a regime nullo si utilizza un semplice regolatore statico con un polo all'origine e guadagno statico libero. Il polo è necessario poiché la  $G(s)$  di partenza non ha un polo nell'origine; così facendo il valore di  $W$  è irrilevante.

$$R_s(s) = \frac{\mu_s}{s}$$
$$\mu_s = 1$$

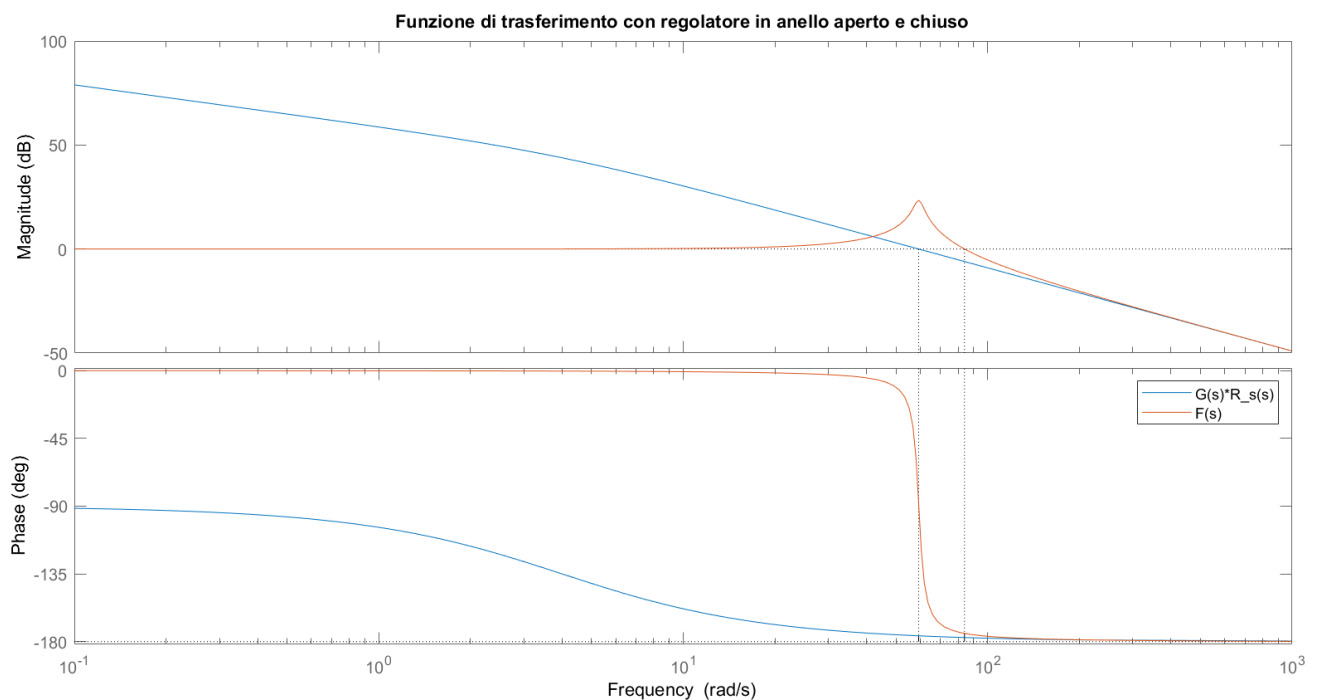
Si ottiene una nuova funzione di trasferimento  $G_1(s)$ , in serie con il regolatore, rappresentata nel grafico sotto:



La frequenza di taglio, ottenibile dal grafico, è 59,3 rad/s. Il polo aggiunto risolve il problema dell'errore a regime e pone la funzione di trasferimento  $G_1(s)$  al di fuori della zona gialla. La risposta al gradino con l'aggiunta del regolatore statico diventa:



Come si vede dal grafico sono presenti delle oscillazioni a causa del polo complesso coniugato e i tempi di assestamento sono ancora alti, intorno ai 3 s. L'obiettivo, da progetto, è di 0,15 s.





Come si può vedere dal diagramma di Bode sopra,  $F(s)$  vale 0 dB per le frequenze vicino a 0 rad/s, risultato ideale in quanto è l'intervallo che va a incidere sul riferimento  $W$ , che in questo caso non viene modificato. Intorno alle frequenze di picco di  $F(s)$  l'ingresso viene enormemente amplificato. Dopo  $\omega_n$ , fissato da specifica a 1500 rad/s, l'ingresso si abbassa per poter attenuare il disturbo  $n$  ad alte frequenze. Si noti che essendoci già un'unica frequenza di attraversamento, si rientra nei criteri di Bode.

#### 4.2. Prestazioni dinamiche

Per le prestazioni dinamiche bisogna regolare la sovraelongazione e il tempo di assestamento. I due valori sono legati alla frequenza di taglio, tale che

$$\omega_c \geq \frac{300}{T^* \cdot M_f}$$

Il valore 300 corrisponde ad una costante del tempo di assestamento al 5%. Da specifiche bisogna ottenere  $T^*$ , il tempo di assestamento, pari a 0,15 s e  $M_f \geq 45^\circ$ . La frequenza di taglio attuale di  $G_1(s)$  è 59,3 rad/s. Essendoci due poli complessi coniugati dominanti, allora vale la seguente formula:

$$M_f = \xi \cdot 100$$

Partendo dalla formula di  $S_\%$  e assumendo  $S_\% = 5\%$  (dato che da specifica deve essere  $\leq 5\%$ ) si può ricavare il coefficiente di smorzamento  $\xi$ :

$$S_\% = 100 \cdot e^{\left(\frac{-\pi \cdot \xi}{\sqrt{1-\xi^2}}\right)}$$

$$\xi = \frac{\sqrt{\left(\log\left(\frac{S_\%}{100}\right)\right)^2}}{\sqrt{\pi^2 + \left(\log\left(\frac{S_\%}{100}\right)\right)^2}} = \frac{\sqrt{(\log(0,05))^2}}{\sqrt{\pi^2 + (\log(0,05))^2}} = 0,69$$

Si ricava quindi che

$$M_f = \xi \cdot 100 = 0,69 \cdot 100 = 69^\circ$$

Il valore di  $M_f$  trovato è molto più alto di quello stabilito dalla consegna, di  $45^\circ$ , ma lo si terrà per garantire le migliori performance ottenibili. La frequenza di taglio minima  $\omega_{c_{\min}}$  sarà quindi

$$\omega_{c_{\min}} = \frac{300}{0,15 \cdot M_f} = \frac{300}{0,15 \cdot 69} = 28,98 \text{ rad/s}$$

Non venendo specificata nessuna  $\omega_{c_{\max}}$ , si assume che

$$\omega_{c_{\max}} = \omega_n = 1500 \text{ rad/s}$$

Si tiene come pulsazione di riferimento per il calcolo di  $M^*$ ,  $\varphi^*$ ,  $\tau$  e  $\alpha$  la pulsazione  $\omega_{c_{\min}}$ .

$$\omega_c^* = \omega_{c_{\min}}$$

$$M^* = 10^{\frac{-|G(j\omega_c^*)|_{\text{dB}}}{20}}$$

$$\varphi^* = M_f^* - 180 \cdot \arg\{G(j\omega_c^*)\}$$

$$\tau = \frac{M^* \cdot \cos\left(\varphi^* \cdot \frac{\pi}{180}\right)}{\omega_c^* \cdot \sin\left(\varphi^* \cdot \frac{\pi}{180}\right)}$$

$$\alpha = \frac{\cos\left(\varphi^* \cdot \frac{\pi}{180}\right) - \frac{1}{M^*}}{\omega_c^* \cdot \sin\left(\varphi^* \cdot \frac{\pi}{180}\right)}$$

$$R_d(s) = \frac{1 + \tau \cdot s}{1 + \alpha \cdot \tau \cdot s}$$

Il regolatore dinamico così progettato non rispetta i requisiti di riduzione del disturbo  $n$ . Il guadagno statico non è bloccato da  $R_s(s)$ , quindi lo si può sfruttare per ridurre l'ampiezza in modo da uscire dalla zona gialla.

Occorre determinare il valore del guadagno  $\mu_d$  del regolatore dinamico  $R_d(s)$ :

$$\mu_d = 10^{\frac{-|G(j\omega_c^*)|_{dB}}{20}} = 0,24$$

Ora si può ricavare il regolatore completo, moltiplicando lo statico per il dinamico:

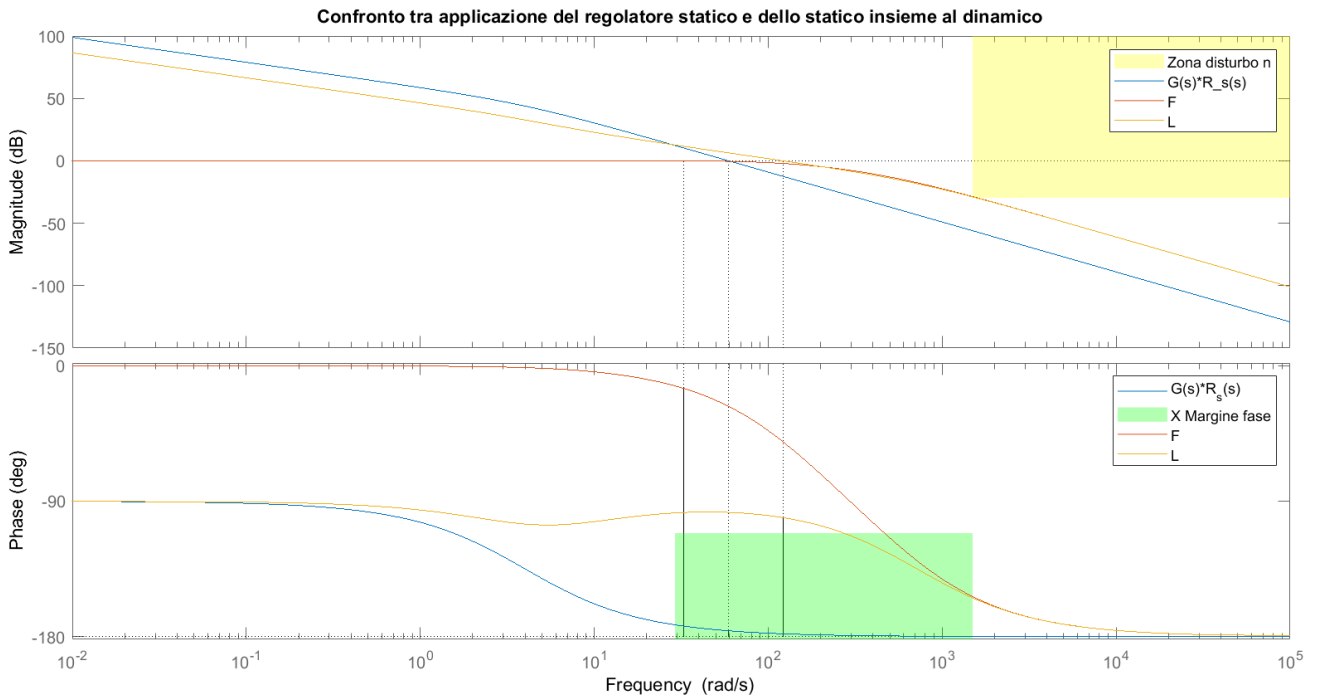
$$R_d(s) = \mu_d \cdot R_d(s)$$

$$R(s) = R_d(s) \cdot R_s(s)$$

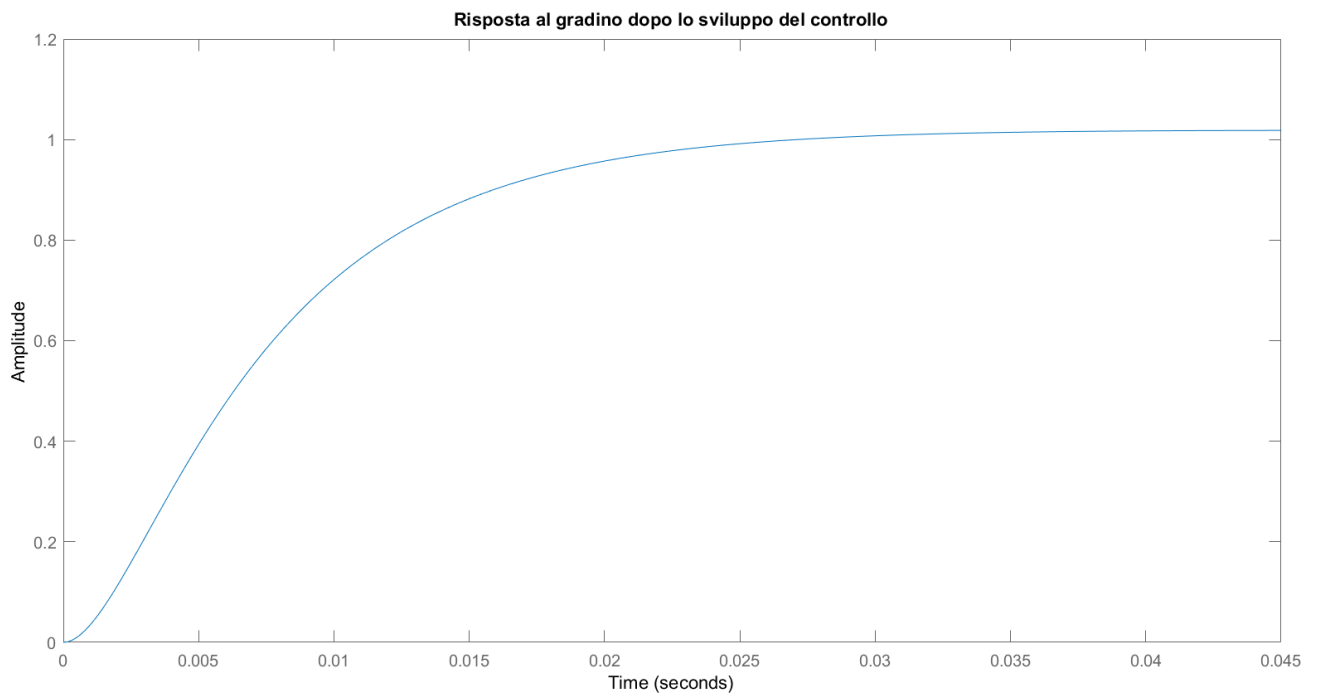
Si ottiene ora  $L(s)$ , data dall'applicazione del regolatore finale alla  $G(s)$  iniziale.

$$L(s) = R(s) \cdot G(s)$$

$$F(s) = \frac{L(s)}{1 + L(s)}$$



Il fatto che  $|F(s)| = 0$  per  $\omega \ll \omega_c$  e che  $|F(s)| = |L(s)|$  per  $\omega \gg \omega_c$  conferma che sia giusto.



I requisiti di sovraelongazione e tempo di assestamento al 5% sono soddisfatti sia per  $Ta_5 = 0,15$  s che per  $Ta_0 = 0,04$  s; il margine di fase è rispettato alla frequenza di taglio  $\omega_c$  e dato che l'ampiezza  $L$  in  $\omega_n < -30$  il requisito di disturbo  $n$  è rispettato.

## 5. Test del regolatore sul sistema non linearizzato

Con  $\bar{y}$  calcolato nel punto di equilibrio:

utilizzando Simulink, è stato ricreato il sistema non lineare ed è stato inserito nel circuito in retroazione. L'ingresso, a cui viene sommato  $\bar{u}$  di equilibrio, è stato preso dal regolatore  $R(s)$ , mentre l'uscita è stata retroazionata e sommata al disturbo  $n$ , di ampiezza  $A_n = 0,02$ .

L'ingresso del sistema è quindi definito come

$$u = \bar{u} + \delta u$$

con  $\delta u$  proveniente dal regolatore.

Gli stati  $x_1$  e  $x_2$  sono stati impostati con la condizione iniziale nel punto di equilibrio del sistema.

Pertanto, nell'istante  $t = 0$  il sistema si trova:

$$\dot{x} = f(\bar{x}, \bar{u}) = 0$$

$$y = h(\bar{x}, \bar{u}) = \bar{y}$$

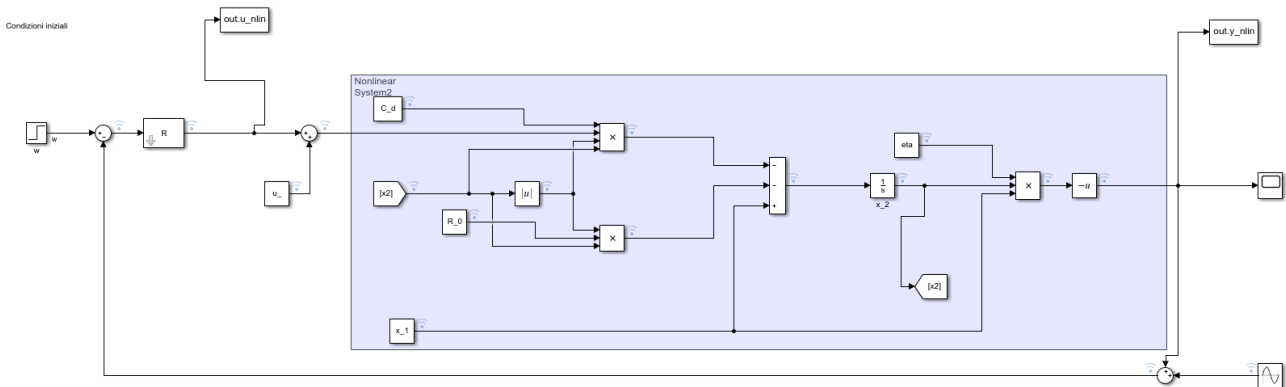
Successivamente si è aggiunto uno step di riferimento che, partendo da  $\bar{y}$ , faceva variare questo di un certo  $\delta y$  nell'istante  $t=2$ .

$$W = \bar{y} + \delta y$$

Dopo lo step, l'equazione di stato si presenta nella seguente condizione:

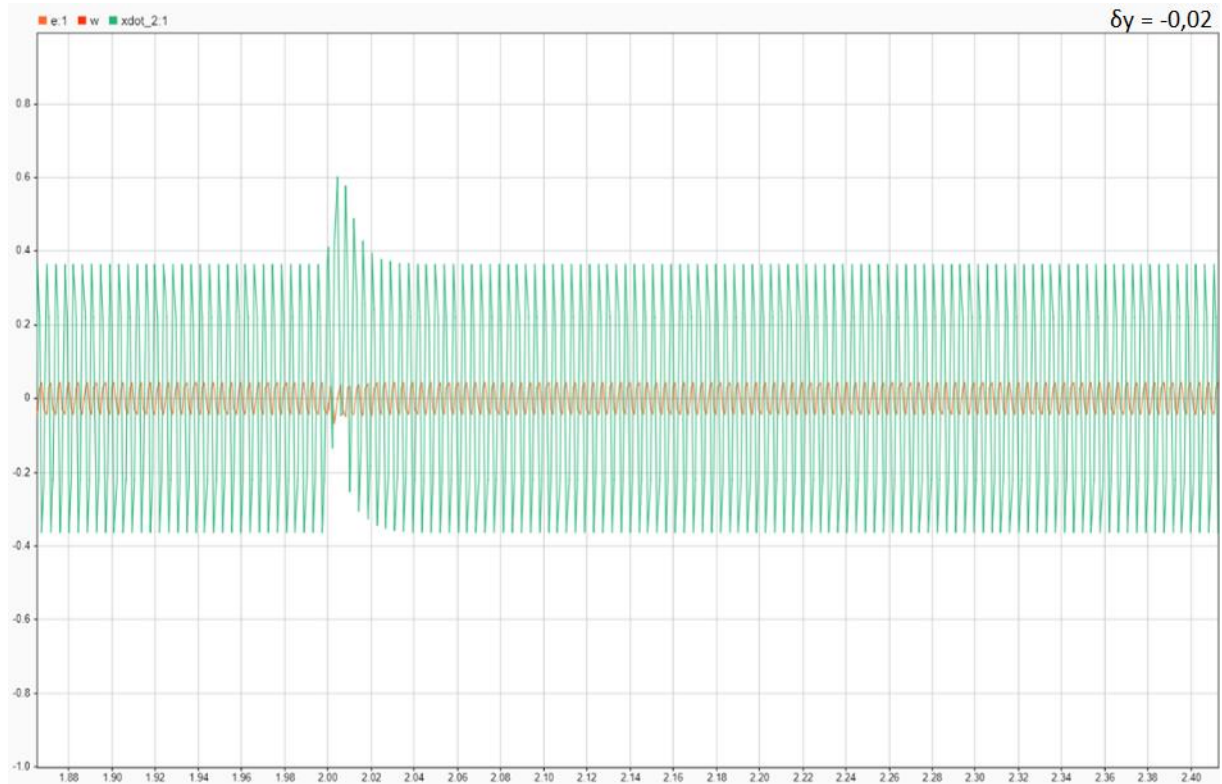
$$\dot{x} = f(\bar{x} + \delta x, \bar{u} + \delta u) = 0$$

$$y = h(\bar{x} + \delta x, \bar{u} + \delta u) = W$$

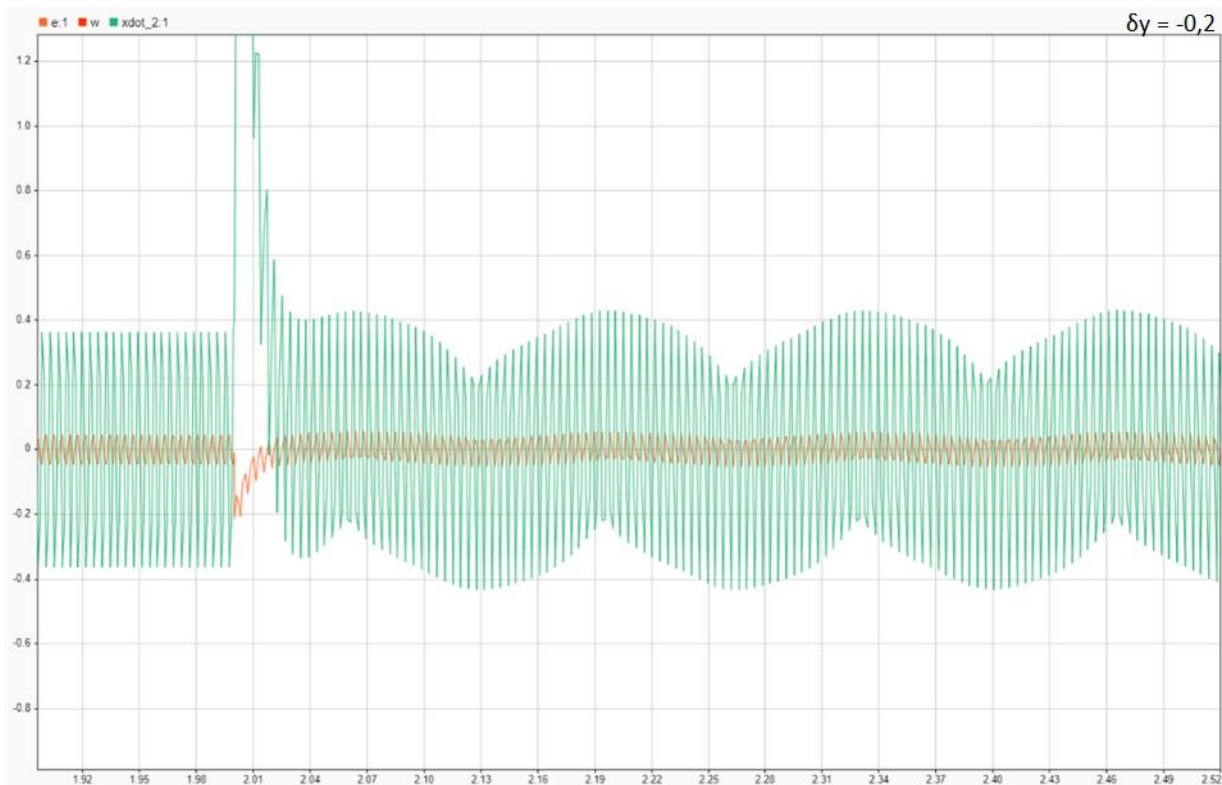


Lo scopo di questa aggiunta è quello di perturbare il sistema nel suo punto di equilibrio, per vedere il comportamento di quest'ultimo. In particolare, verrà osservata  $\dot{x}_2$ , in quanto  $\dot{x}_1$  è nulla. Il  $\delta y$  è stato progressivamente aumentato, partendo da 0 fino ad arrivare a 0,5.

È stato osservato che, nel caso in cui  $\delta y \in [-0,03, 0,03]$ , l'equazione di stato  $\dot{x}_2$  tornava nel punto di equilibrio con oscillazione simile alla situazione precedente allo step.



Invece, con  $|\delta y| > 0,03$ , l'equazione di stato  $\dot{x}$  non tornava alla stabilità precedente nell'intorno di 0, subiva infatti una variazione maggiore ed assumeva una forma ondulatoria nel complesso.



Calcolo con  $y_{\text{ref}} = 40$  come da testo:

Il sistema non lineare è stato testato anche con il riferimento fornito nel testo del progetto. Il riferimento indicato è un valore positivo e il sistema non riesce a fornire un'uscita tale che l'errore sia nullo. L'equazione del sistema non linearizzato di  $y$  è

$$y = -\eta x_1 x_2$$

Essendo  $\eta$  e  $x_1$  costanti, dato che  $\dot{x}_1 = 0$ ,  $y$  sarà influenzata solo dall'andamento di  $x_2$ . Per soddisfare  $y = y_{\text{ref}} = 40$  si deve avere  $x_2 = -6,15$ .

Studiando la derivata di  $x_2$ ,

$$\dot{x}_2 = -C_d u x_2 |x_2| - R_0 x_2 |x_2| + x_1$$

si può notare che per  $x_2$  tendente a 0 la sua derivata sarà  $\cong x_1$  e dato che  $x_1 = 10$ , che è un valore positivo, il sistema non riuscirà mai a porre  $x_2$  ad un valore inferiore a 0.

In conclusione, avendo un riferimento positivo  $y_{\text{ref}}$  e partendo dal punto di equilibrio indicato, l'errore sarà  $\cong y_{\text{ref}}$ .